

## تبیین مفهوم ریسک و سنجش میزان ریسک لرزه‌ای مناطق شهری (مطالعه موردی: نجف‌آباد)

سوگل فاضل<sup>\*</sup> – دانشجوی دکتری جغرافیا و برنامه‌ریزی شهری پژوهشگاه شاخص‌پژوه دانشگاه اصفهان  
مسعود تقی‌ایی – استاد گروه جغرافیا و برنامه‌ریزی شهری دانشگاه اصفهان  
امیر محمودزاده – رئیس پژوهشگاه مهندسی بحران‌های طبیعی شاخص‌پژوه، استادیار گروه عمران‌زلزله

پذیرش مقاله: ۱۳۹۵/۰۳/۲۸ تأیید نهایی: ۱۳۹۶/۰۲/۲۶

### چکیده

بر اساس نقشهٔ پهنه‌بندی خطر زلزله در ایران، بخش زیادی از این کشور در محدودهٔ خطر نسبتاً متوسط رویه‌بالا قرار دارد. از سوی دیگر، دوره‌های غیرلرزه‌ای بعضی گسل‌ها در سدهٔ بیستم (حتی آرامشی هزارساله) نشان‌دهندهٔ لرزه‌زا نبودن این گسل‌ها نیست. در این میان، قضاوت شهروندان از خطر باید بر این مبنای باشد که آن‌ها در منطقه‌ای زلزله‌خیز سکونت دارند. براین‌اساس ضروری است ارزیابی ریسک لرزه‌ای مناطق مختلف کشور با هدف کاهش خطرپذیری جوامع شهری در اولویت برنامه‌ریزی‌ها قرار بگیرد. در پژوهش کاربردی و توصیفی-تحلیلی حاضر، ضمن معرفی دیدگاه‌ها و مدل‌های مختلف مرتبط با مفهوم‌شناسی ریسک و آسیب‌پذیری، ریسک‌پذیری لرزه‌ای شهر نجف‌آباد بررسی شد. برای این منظور، از پارامترهای گوناگون کمی و کیفی براساس رویکرد تصمیم‌گیری چندمعیاره و روش تحلیل شبکه (ANP) و ارائه مدل کاربرد داشت. نتایج نشان می‌دهد حدود ۶۰ درصد مساحت توسعه‌یافتهٔ شهر – که دربرگیرندهٔ ساختمان‌های خشتی و آجر و آهن است – ریسک‌پذیری متوسط رویه‌بالایی دارد. با تطبیق نقشهٔ تراکم جمعیت بر این پهنه، حدود یک چهارم جمعیت شهر (در بعضی قسمت‌ها با تراکمی بین ۷۰ تا ۱۰۰ نفر در هکتار) خطرپذیری بالایی دارند.

واژه‌های کلیدی: آسیب‌پذیری، ریسک، زمین‌لرزه، مخاطره، نجف‌آباد.

## مقدمه<sup>۱</sup>

امروزه در بیشتر جوامع تمایل زیادی به تمرکز بر ارزیابی ریسک و کاهش آن‌ها قابل مشاهده است. در عمل نیز به طور فزاینده‌ای از آمادگی در برابر مخاطرات و مقابله با آن‌ها غفلت می‌شود؛ درحالی که ارزیابی ریسک، اطلاعات ضروری برای اولویت‌بخشی به راهبردهای کاهش و پیشگیری از خطر را فراهم می‌کند (گارسیا و همکاران، ۲۰۱۴: ۳۶۴). نیاز به کاهش خطر بلایا و توسعه ابزار و فنون برای کنترل کردن خطر بلاهای طبیعی، موضوعی کلیدی در جهان امروز است (رودریگز و همکاران، ۲۰۱۲). تحول سریع در فناوری‌های جدید، بهویژه در سیستم‌های اطلاعاتی، بستر کاهش خطرهای مدیریت بحران را فراهم می‌کند (فتحی زهرایی و همکاران، ۲۰۱۵). ایران در میان کشورهای آسیا و خاورمیانه از نظر وقوع بحران در رتبه اول قرار دارد؛ به طوری که در سال‌های ۱۹۰۰ تا ۲۰۱۳ بیش از ۴۳/۵ میلیون نفر، یعنی ۵۵ درصد جمعیت ایران از بحران‌های گوناگون تأثیر پذیرفته‌اند (ایمدادات، ۲۰۱۳). وجه غالب مخاطرات طبیعی در کشور ما زمین‌لرزه است. اگر وقوع زلزله‌های جدید را در مناطقی که پیش‌تر با زلزله مواجه بودند قطعی بدانیم، به آن معنی نیست که از بروز زلزله در منطقه‌ای که تاکنون در آن زلزله رخ نداده است مطمئن هستیم (در کشور فرانسه محاسبه زلزله برای ساختمان‌ها، حتی در مناطق با احتمال صفر زلزله اجباری است (تفقی، ۱۳۸۳: ۵۰)). قضاوتهای متخصصان درباره زلزله‌های احتمالی برمبنای دانش فعلی شان از گسل‌های شناخته‌شده است. درحالی که شهروندان باید قضاؤتشان از خطر بر این اساس باشد که در منطقه‌ای زلزله‌خیز قرار دارند (مک‌کلور و همکاران، ۲۰۱۵: ۱۵). ایران یکی از فعال‌ترین نواحی دنیا از نظر لرزه‌ای است که در گذشته با زلزله‌های مخرب زیادی مواجه شده است و در حال حاضر یکی از آسیب‌پذیرترین کشورهای جهان در برابر زلزله محسوب می‌شود (زبردست، ۲۰۱۳: ۱۳۳۱).

شهر نجف‌آباد در فاصله سی کیلومتری شهر اصفهان، با جمعیتی بیش از ۲۲۱ هزار نفر (در سال ۱۳۹۰) شهری میانی با نقش خدماتی سطح یک و مهم‌ترین مرکز خدماتی پس از اصفهان در مجموعه شهری اصفهان به‌شمار می‌آید که براساس مصوبات استانی، هنگام وقوع بحران به‌عنوان شهر معین برای شهر اصفهان درنظر گرفته شده است. نجف‌آباد از نظر زمین‌ساختی در زون سندنج-سیرجان قرار دارد که زون جز ناآرام‌ترین و به عبارتی فعال‌ترین زون ساختمانی ایران به شمار می‌رود (درویش‌زاده، ۱۳۹۲: ۱۱۸) و براساس مطالعات انجام‌شده احتمال وقوع زلزله در این مکان همواره وجود دارد (شاھسپندزاده و حیدری، ۱۳۸۲: ۶۴). هرچند در نقشه سایزموتوکتونیک ایران این شهر با خطر نسبی متوسطی مواجه شده است، رویداد زمین‌لرزه‌های تاریخی و سده بیستم در گستره اصفهان و روندهای بنیادی گسل‌ها و ساختارهای جنبا در این پهنه، نمایانگر میزان لرزه‌خیزی نسبتاً بالای این ناحیه است (آمبرسیز و ملویل، ۱۹۸۲: ۱۳۳؛ صفائی، ۱۳۸۲: ۱۵). با توجه به اهمیت مسائل مرتبط با زمین‌لرزه و تبعات ناشی از آن در سطح کشور، هدف اصلی این پژوهش تهیه مدلی محلی برای بررسی ریسک‌پذیری شهر نجف‌آباد از زمین‌لرزه احتمالی و تخمین میزان نجف‌آباد از زمین‌لرزه تهیه مدلی محلی نواحی مختلف شهر از نظر خطرپذیری در موقع بحرانی برمبنای درجات کم، متوسط و زیاد تقسیم‌بندی شوند. برای این منظور ضروری است ترکیبی از تمام عوامل اجتماعی-فیزیکی و احتمال وقوع و فراوانی مخاطره طبیعی در محل درنظر گرفته شود (ویلیس و همکاران، ۲۰۱۴: ۲). در این پژوهش، ابتدا با بررسی وضعیت ژئودینامیکی منطقه و مؤلفه‌های زمین‌ساختی مؤثر در خطر لرزه‌ای ساختگاه، مخاطره زمین‌لرزه تحلیل شد. سپس با استفاده از فرایند تحلیل شبکه و تخصیص وزن‌های معنادار به ویژگی‌های کالبدی، اجتماعی، مدیریتی و... شهر، همچنین تحلیل فضایی این عناصر در محیط ARCGIS براساس استانداردهای موجود، بررسی آسیب‌پذیری شهر صورت گرفت. تلفیق نقشه‌های خطر و

۱. این مقاله برگرفته از رساله سوگل فاضل با عنوان «پهنه‌بندی ریسک‌پذیری فضای شهری در ارتباط با مدیریت بحران زلزله» است.

آسیب‌پذیری به منظور مشخص کردن نواحی پر خطر و آگاهی از حدود جمعیت آسیب‌پذیر می‌تواند مبنای چگونگی توسعه شهر، نحوه استفاده از زمین برای تأسیسات زیربنایی آینده و مدیریت اصولی شهر هنگام وقوع بحران باشد.

## مبانی نظری

### مفهوم شناسی ریسک، مخاطره و آسیب‌پذیری

در رویکردهای نوین مدیریت بحران در سطح جهانی، بر کاهش ریسک یا خطرپذیری بلایا به کمک کاهش آسیب‌پذیری‌ها و کاهش مخاطرات طبیعی و مواجهه با آن تأکید می‌شود؛ به گونه‌ای که راهبرد مدیریت ریسک در محیط‌های شهری معرف عملکرد آگاهانه برای کاهش تبعات ناشی از وقوع مخاطره پیش از رخداد بحران است (محمدی، ۱۳۹۰: ۷۳). تفاوت قائلشان میان خطر، خطرپذیری (ریسک) و آسیب‌پذیری نکته مهمی است. بدین معنی که ریسک، خسارات مورد انتظار از تمام سطوح شدت مخاطره را تلفیق می‌کند و وقایع احتمالی ناشی از آن را در نظر می‌گیرد. در حالی که آسیب‌پذیری از یک عنصر، معمولاً برای سطح شدت خطر بیان می‌شود (اساریس و همکاران، ۲۰۱۰: ۳۹۵). در واقع احتمال خطر زمانی احساس می‌شود که سیستم آسیب‌پذیر در معرض تماس و برخورد با مخاطرات قرار بگیرد (منوی، ۲۰۰۶: ۳۰۹). به عبارت دیگر ریسک، حاصل ترکیب مخاطره و آسیب‌پذیری است (دوان، ۲۰۱۳: ۳۵). در جدول ۱، تعاریف مربوط به واژگان کلیدی پژوهش و تفاوت آن‌ها آمده است.

از آنجا که نمی‌توان احتمال خطر را کاملاً از بین برد، تنها راه چاره، پذیرش احتمال خطر و مدیریت آن است (اسمیت، ۱۳۸۲: ۹۰). پژوهش در زمینه شناخت و تبیین نواحی پر خطر در قالب الگوهای پهنه‌بندی و تحلیل ریسک و آسیب‌پذیری با هدف تعديل و کنترل بحران، از نظر نسبی مدنظر بوده است. هدف از پهنه‌بندی خطر محیطی، تقسیم ناحیه‌ای خاص به چندین زیرناحیه مطابق با آمار و اطلاعات موجود آن ناحیه است؛ به طوری که ابتدا باید منابع خطر شناسایی، و نوع خطر هر منبع (زلزله، آتش‌سوزی، انفجار، سیل و...) مشخص شود، سپس برآورد دامنه متأثر و شدت خطر صورت بگیرد (شی و زنگ، ۲۰۱۲: ۸۰۰).

توصیف ماهیت و شدت هر حادثه، تنها بخشی از مرحله ارزیابی خطر است. مرحله مهم‌تر آن، ارزیابی با عوامل انسانی مانند توزیع جمعیت، نظام‌های ساختمانی و... در یک منطقه است که اغلب با ترسیم نقشه‌های خطر انجام می‌شود (کلر و پینتر، ۲۰۰۲).

جدول ۱. تعاریف مربوط به واژه‌های کلیدی پژوهش

| واژه      | تعریف                                                                                                         |
|-----------|---------------------------------------------------------------------------------------------------------------|
| مخاطره    | پدیده یا رویدادی است که می‌تواند به زندگی افراد، دارایی آن‌ها و محیط آسیب بزند (اسلام و همکاران، ۲۰۱۳: ۲۰۸۴). |
| آسیب‌پذیر | حدودیت جامعه در برابر مخاطره و مسلطشدن آن مخاطره بر تمام عوامل فیزیکی، اجتماعی، اقتصادی، سیاسی؛               |
| ی         | به طوری که بر توانایی جامعه در واکنش به آن حوادث تأثیر منفی بگذارد (چن و همکاران، ۲۰۱۲).                      |
| ریسک      | احتمال دریافت پیامدهای مضر از مخاطرات در منطقه‌ای خاص و در دوره زمانی مشخص (ماسویا، ۱۸۲: ۲۰۱۴).               |

ساختر تئوریک ریسک، مخاطره و آسیب‌پذیری با سه پیشینه گوناگون همراه است (لانکاوش و کین، ۲۰۱۱): نخستین پارادایم بر مبنای تأثیر متقابل انسان-طبیعت استوار است؛ دومین پارادایم بر ابعاد اجتماعی مخاطرات تأکید می‌کند و ریشه آن در اقتصاد سیاسی و بوم‌شناسی سیاسی نهفته است. سومین پارادایم به صورت انعطاف‌پذیری بر مفهوم آسیب‌پذیری اجتماعی ناشی از تغییرات اقلیمی و جهانی تأکید می‌کند.

نتیجه تمام این پارادایم‌ها مدل‌هایی است که ارتباط میان ریسک، مخاطره و آسیب‌پذیری را تجزیه و تحلیل می‌کنند. از جمله مهم‌ترین آن‌ها مدل فشار و رهایی (PAR)،<sup>۱</sup> مدل مخاطرات مکانی (HOP)،<sup>۲</sup> مدل برگشت‌پذیری (بازیابی سریع) از بلایای مکانی (DROP)،<sup>۳</sup> مدل ارائه‌شده سازمان ملل برای کاهش ریسک بلایا (UNISDR، 2004) و مدل آسیب‌پذیری شهری (UVF)<sup>۴</sup> هستند. این مدل‌ها در محیط‌های گوناگون برای بررسی ریسک و آسیب‌پذیری از مخاطرات طبیعی آزمایش شده است. اگرچه نتایج این پژوهش‌ها قابل تقدیر است، کمبود اطلاعات بهویژه در کشورهای در حال توسعه، مانع جدی در استفاده مؤثر از این مدل‌هاست (دون، ۲۰۱۳؛ وانگ، ۲۰۱۱). با وجود این اختلافات فراوانی در برداشت پژوهشگران از این واژه‌های کلیدی وجود دارد که ناشی از نوع نگرش و متداول‌وزی آن‌هاست (ماسویا، ۲۰۱۴: ۱۸۰).

### ارتباط خطر، خطرپذیری (ریسک) و آسیب‌پذیری از دیدگاه‌های گوناگون

در برآراء این موضوع دیدگاه‌های بسیاری وجود دارد. واژه خطرپذیری هنگامی کاربردی دارد که بتوان احتمال وقوع پدیده‌ای را ارزیابی کرد. به عبارت دیگر خطرپذیری‌ها قابل برآورد هستند.

از دیدگاه رافتري (۱۹۹۴) برای محاسبه میزان خطرپذیری از رابطه ۱ استفاده می‌شود:

$$\frac{\text{مخاطرات} \times \text{آسیب‌پذیری}}{\text{آmadگی}} = \text{خطرپذیری} \quad (1)$$

این رابطه نمایانگر این است که میزان خطرپذیری، رابطه‌ای مستقیم با آسیب‌پذیری<sup>۵</sup> و مخاطرات<sup>۶</sup> دارد، اما رابطه آن با میزان آmadگی<sup>۷</sup> معکوس است (RAFTERI, ۱۹۹۴: ۲۳). به عبارت دیگر، خطر ثابت و خطرپذیری متغیر است.

کریشتون<sup>۸</sup> (۱۹۹۹) با طرح مثلث ریسک، آسیب‌پذیری را یکی از ابعاد سه‌گانه در سنجش خطرپذیری جوامع در ارتباط با بحران‌های مکانی می‌داند، اما معتقد است امکان و شدت آسیب‌پذیری تنها عوامل مؤثر در اینمنی جوامع نیستند، بلکه پدیده‌های در معرض ریسک در ارتباط با میزان حساسیت و توانمندی یک اجتماع برای بازیابی و مدیریت و مخاطرات احتمالی از ابعاد دیگر قابل سنجش ریسک‌پذیری هستند.



شکل ۱. مثلث ریسک‌پذیری کریشتون

1. Pressure and Release
2. Hazards of Place
3. Disaster Resilience of Place
4. Urban Vulnerability Framework
5. Vulnerability
6. Hazards
7. Preparedness
8. Crichton

فسکی و همکاران (۲۰۰۷) رابطه خطی زیر را برای ریسک تعریف کرده‌اند. به عبارت دیگر، ریسک‌پذیری در این مدل برایندی از میزان آسیب‌پذیری، مخاطرات و عناصر در معرض ریسک<sup>۱</sup> است که به صورت رابطه ۲ قابل تبیین است (فسکی و همکاران، ۲۰۰۷:۵۱).

$$R = H + V + E \quad (2)$$

$V = \text{آسیب‌پذیری}$        $H = \text{مخاطره}$        $E = \text{عناصر در معرض ریسک}$

تی‌سای<sup>۲</sup> و همکاران (۲۰۱۰) ضمن به کارگیری سازوکاری عملی برای ارزیابی و مدیریت خطرپذیری فاجعه زلزله، با توجه به عوامل «مخاطره، درمعرض بودن و آسیب‌پذیری» رابطه ۳ را برای ارزیابی خطرپذیری به کار برده‌اند.

$$(در معرض بودن افراد یا دارایی‌ها) E \times (\text{سطح خسارت و آسیب}) V \times (\text{مخاطره}) H \quad (3)$$

MASOIA (۲۰۱۴) با درنظرگرفتن میزان آمادگی (ظرفیت مقابله)<sup>۳</sup> جامعه با مخاطرات به عنوان بخشی از تعریف آسیب‌پذیری، ریسک را نتیجه ترکیب مخاطره و آسیب‌پذیری می‌داند و رابطه ۴ را برای آن ارائه می‌دهد (MASOIA، ۲۰۱۴: ۱۹۱).

$$\text{RISK} = \text{Hazard} \times \text{Vulnerability} \quad (4)$$

### مدل‌سازی و ویژگی‌های سیستم‌های اطلاعات جغرافیایی در تحلیل فضایی ریسک

کاربرد مدل‌ها در برنامه‌ریزی شهری تلاشی برای ایجاد روشی نظامی‌افته به منظور یاری‌رساندن به تصمیم‌گیرنده در انتخاب چارچوبی مناسب در حل مسئله است (بمانیان و همکاران، ۱۳۹۱: ۱۰). سیستم‌های اطلاعات جغرافیایی (GIS) نقش مهمی در توسعه مدل‌های مکان‌یابی و کاربردی دارند. تحلیل‌های این سامانه، بررسی الگوهای فضایی و یافتن ارتباط میان فاکتورهای مختلف جغرافیایی را برای ارزیابی ریسک و پیش‌بینی مخاطرات تسریع کرده است (بابان، ۲۰۱۴: ۵۳). از قابلیت‌های این سیستم استفاده از توابع تحلیل فضایی و به کارگیری منابع اطلاعات توصیفی و مکانی به صورت همزمان در پهنه‌بندی خطر زلزله است. تحلیل فضایی به فرایند مدل‌سازی، بررسی و تفسیر نتایج مدل‌ها گفته می‌شود و از جمله موارد کاربرد آن، استنتاج اطلاعات جدید، درک روابط فضایی میان داده‌ها، یافتن مکان مناسب و کار با پیکسل‌هاست (فضل‌نیا و همکاران، ۱۳۹۳: ۱۴۵). درمجموع، اطلاعاتی مربوط به چهار عنصر مؤثر در ارزیابی ریسک‌پذیری لزهای شهر نیاز است که عبارت‌اند از: خطرات لزهای، درمعرض خطر بودن، مکان و آسیب‌پذیری (ویسه، ۱۲: ۱۳۷۸) که در نتیجه تلفیق آن‌ها برای مدل‌سازی، پهنه‌های ریسک‌پذیر یا بهترین نقاط برای استقرار مکان‌های مورد نظر تعیین خواهند شد.

### شاخص‌ها و مدل تعریف‌شده پژوهش

با توجه به اینکه برای بررسی ریسک باید ترکیبی از تمام عوامل اجتماعی-فیزیکی و فراوانی مخاطره طبیعی در محل درنظر گرفته شود (ویلیس و همکاران، ۲۰۱۴: ۲)، با استناد به مطالعات و نظریات ارائه شده در این زمینه و درنظرگرفتن فاکتورهای مؤثر بر ریسک‌پذیری لزهای شهر، مدلی محلی تهیه شد که در آن ابتدا با معرفی برخی متغیرهای مؤثر بر ایجاد یا تشدید مخاطره زمین‌لزه، احتمال وقوع این عامل بررسی شد. سپس مجموعه عوامل در معرض آسیب از

1. Exposure

2. Tsai

3. Coping Capacity

زمین‌لرزه احتمالی و ظرفیت مقابله با این خطر در شهر نیز به عنوان شاخص آسیب‌پذیری تعریف و تحلیل می‌شود. درنهایت شاخص ریسک براساس ترکیب مؤلفه‌های خطر زلزله و فاکتور آسیب‌پذیری طبق مدل ارائه شده (شکل ۲) و رابطه ۵ به طور نسبی برآورد خواهد شد.

$$R = (H) \text{ خطر زلزله} \times ((E) \text{ عوامل در معرض خطر} + (C) \text{ ظرفیت مقابله با خطر}) \quad (5)$$



شکل ۲. سلسه‌مراتب عوامل و معیارهای انتخاب شده پژوهش در ارزیابی ریسک‌پذیری لرزه‌ای شهر

منبع: نگارندگان

این مدل لرزه‌ای را می‌توان برای مناطقی که وضعیت مشابه دارند استفاده کرد. باید توجه داشت که به دلیل نبود برخی اطلاعات درباره بررسی خطر در منطقه و همکاری نکردن بعضی سازمان‌ها در ارائه اطلاعات (از جمله وضعیت اقتصادی افراد) بعضی معیارها به ناجار حذف شده‌اند.

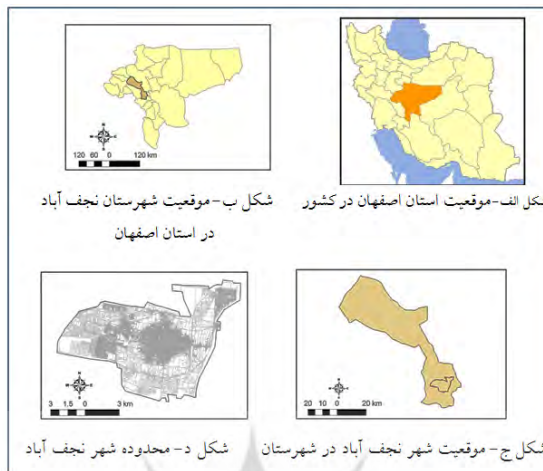
## روش پژوهش

پژوهش حاضر کاربردی و توصیفی-تحلیلی است که داده‌های آن عمدتاً به صورت کتابخانه‌ای شامل استفاده از نقشه‌ها، طرح‌های پژوهشی، اطلاعات تجدیدنظر طرح توسعه و عمران شهر (۱۳۹۰)، تصاویر هوایی، داده‌های آماری مربوط به سرشماری جمعیت سال ۱۳۹۰ و به صورت پرسشنامه‌ای شامل برداشت بخشی از اطلاعات مورد نیاز انجام شد. در ابتدا با داشتن نقشه‌ها و اطلاعات مربوط، بررسی مخاطره زمین‌لرزه در منطقه صورت گرفت. سپس برای تهیه نقشه آسیب‌پذیری شهر از این مخاطره، با استفاده از مطالعات انجام شده پیشین و استفاده از آرای برخی استادان و متخصصان این موضوع و براساس رویکرد تصمیم‌گیری چندمعیاره، پنج معیار کلی و هجده زیرمعیار در نظر گرفته شد. وزن‌دهی داده‌ها نیز با استفاده از فرایند تحلیل شبکه (ANP) و به کارگیری نرم‌افزار Super Decision صورت گرفت و نقشه‌ها و لایه‌های اطلاعاتی براساس استانداردهای موجود در زمینه آسیب‌پذیری و گاهی در قالب مدل‌های تحلیل فضایی، در محیط ARCGIS10.2 تهیه شد. با توجه به توضیحات و با تلفیق اطلاعات فوق براساس مدل و رابطه تعریف شده پژوهش، بررسی میزان ریسک‌پذیری لرزه‌ای شهر صورت گرفت.

## محدودهٔ مورد مطالعه

شهر نجف‌آباد با وسعتی حدود ۸۹۵۵ هکتار و جمعیت ۲۲۱.۸۱۴ نفر (براساس نتایج سرشماری سال ۱۳۹۰) در ۲۵ کیلومتری غرب اصفهان قرار دارد. این باغ شهر عصر صفوی و نخستین شهر جدید با برنامه‌ای از پیش اندیشیده شده که در

سال ۱۶۰۱ میلادی با اندیشهٔ شیخ بهایی ریاضیدان و مهندس معمار عصر صفوی پایه‌گذاری شد، در حال حاضر براساس تقسیم کار در مجموعهٔ شهری اصفهان، شهری میانی با نقش خدماتی سطح یک و مهمترین مرکز خدماتی پس از اصفهان در این مجموعهٔ شهری محسوب می‌شود (مهندسان مشاور نقش‌جهان پارس، ۱۳۹۰: ۴). در شکل ۳، موقعیت این شهر به ترتیب در کشور، استان و شهرستان آمده است.



شکل ۳. موقعیت شهر نجف آباد به ترتیب در کشور، استان اصفهان و شهرستان نجف آباد

منبع: نگارنده‌گان

## بحث و یافته‌ها

### بررسی و تحلیل مخاطره زمین‌لرزه در منطقه

پیش‌نیاز بنیادین برای تحلیل خطر زلزله، جمع‌آوری و توسعهٔ بانک دادهٔ یکپارچه و جامع از وضعیت ژئodynamیکی منطقه و مؤلفه‌های زمین‌شناختی مؤثر در خطر لرزه‌ای ساختگاه است. این مؤلفه‌ها درواقع شامل چشممه‌های لرزه‌زایی هستند که عمدهاً به صورت گسل‌های فعال شناخته می‌شوند و الگوی لرزه‌خیزی منطقه‌ای به شمار می‌آیند که دربرگیرندهٔ اطلاعات زلزله‌های تاریخی و دستگاهی در محدودهٔ مورد نظر هستند. همچنین اگر شرایط ژئوتکنیکی ویژه‌ای در ساختگاه حاکم باشد، ضروری است با مطالعات میدانی و تهیهٔ مدل‌های رفتار دینامیکی مناسب، اثر بزرگنمایی خاک در تحلیل خطر در نظر گرفته شود (غفوری آشتیانی، ۱۳۹۲: ۶ و ۱۰).

### بررسی وضعیت تکتونیک و گسل‌های منطقه

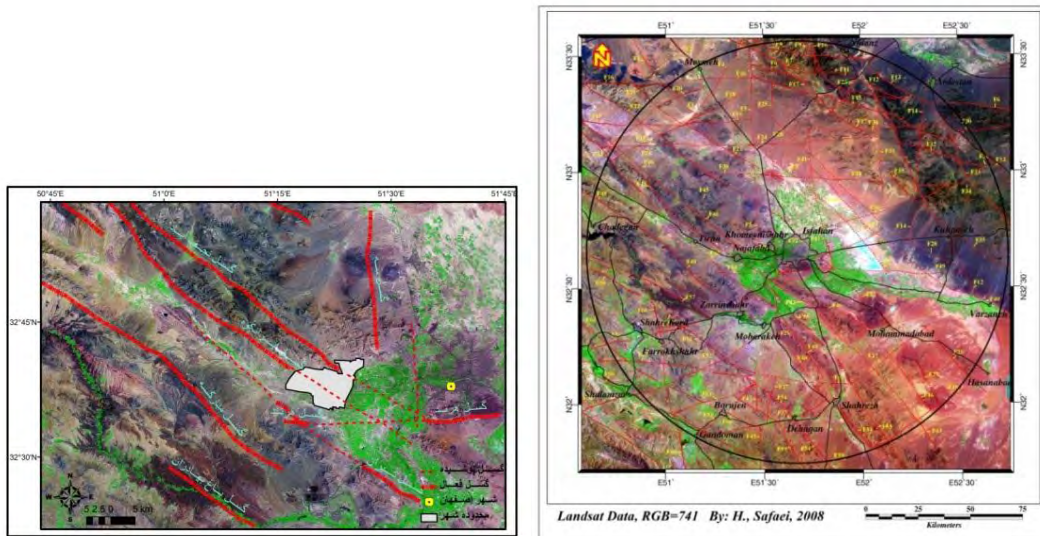
براساس مطالعات بربریان (۱۹۷۶، ۱۹۸۱، ۱۹۸۳، ۱۹۸۶) وجود گسل‌های کواترنر جوان و لرزه‌زا در بخش‌هایی از ایران مرکزی، لرزه‌خیزبودن بیشتر بخش‌های جنبا و رویداد زمین‌لرزه‌های بزرگ با گسل‌شن روی زمین از جمله ویژگی‌های ایران مرکزی است (جمی، ۱۳۸۵: ۲۳). شکستگی‌ها، کوه‌زایی‌ها و حرکات تکتونیکی مربوط به اوایل دوران سوم زمین‌شناصی که به کوه‌زایی آلبی معروف است، در امتداد شمال و غرب شهر نجف‌آباد مشاهده می‌شود. تماس این شهر با کوه‌های اطراف معمولاً از نوع گسلی است که به دلیل فعال بودن، کم‌ویش شهر را تهدید می‌کنند. ابرگسل‌های قم‌زفره، زاگرس و گسل رخ نیز در پیرامون این حوزه قرار دارند (شکل ۴). شواهد نشان می‌دهند هرگاه شروع به لرزیدن کنند حتماً بر این محدوده تأثیر می‌گذارند (نبوی، ۱۳۵۵: ۷۰).



شکل ۴. موقعیت شهر نجف‌آباد در محدوده بین دو ابرگسل زاگرس و قم-زفره

منبع: پژوهشگاه زلزله‌شناسی و مهندسی زلزله

همچنین براساس مطالعه ارزشمندی که به تازگی درمورد وضعیت لرزه‌خیزی منطقه اصفهان انجام شده است، با استفاده از تکنیک پردازش داده‌های رقومی ماهواره‌ای IRS، SPOT و TM، برداشت‌های صحراوی و به کارگیری که لرزه‌های ثبت شده در بخش زلزله‌شناسی سازمان انرژی اتمی و مؤسسه ژئوفیزیک دانشگاه تهران، تعداد زیادی گسل فعال و مهم که گاهی طول آن‌ها از صد کیلومتر بیشتر است، در محدوده‌ای به شعاع صد کیلومتر در اطراف شهر اصفهان شناسایی شدند (بخش زیادی از آن‌ها برای نخستین بار معرفی شدند) (صفایی، ۱۳۸۴: ۱۰۹). نکته قابل تأمل این است که بعضی از زمین‌لرزه‌ها در فلات ایران و در محل گسل‌های پنهان، بدون آثار لرزه‌ای و گسیختگی مشخص سطحی رخ می‌دهند. قابلیت تفسیر ژئومورفولوژیکی مناطقی که گسل‌های رورانده پنهان دارند، برای تخمین بلایای ناشی از زمین‌لرزه در ایران بسیار مهم است؛ زیرا این گسل‌ها (مانند طبس و بهم) ممکن است قابلیت زلزله‌های مخربی را در آینده داشته باشند (جی. اس. آی، ۱۳۸۳). همچنین با توجه به وضعیت خاص ایران در تکتونیک جهانی می‌توان ادعا کرد تمام گسل‌های ایران زلزله‌خیز هستند (درویش‌زاده، ۱۳۹۲: ۴۱۸). نکته قابل توجه درباره گسل‌های منطقه مورد مطالعه که از نوع گسل‌های فشاری هستند، این است که در مقایسه با گسل‌های لغزشی و کششی پرانرژی‌ترند و زمان بازگشت زمین‌لرزه در آن‌ها زیادتر است. همچنین می‌توانند زمین‌لرزه‌های بزرگ و ویرانگری پدید آورند (حسینی و نیازی، ۲۰۰۳: ۵۶). هرچند منطقه اصفهان از نظر لرزه‌ای از دیگر نقاط کشور آرامش نسبی بیشتری دارد، این آرامش نشانگر ثبات و پایداری همیشگی نیست (شاھسپندزاده و حیدری، ۱۳۸۲: ۸۴؛ زیرا آرامبودن لرزه‌ای یک منطقه (مانند طبس، بهم و اهر) حتی آرامشی هزارساله دلیل بر مصون بودن آن منطقه از خطر زلزله‌ای قدرتمند نیست (زارع، ۱۳۹۱). با توجه به سابقه زلزله‌های تاریخی در منطقه (آمبرسیز و ملویل، ۱۳۷۰: ۲۱۶) و ثبت بیش از صدها لرزه در شبکه‌های لرزه‌نگاری طی سده گذشته، فعال بودن گسل‌های منطقه مورد مطالعه و ریسک پذیر بودن شهر از این مخاطره مشخص می‌شود.

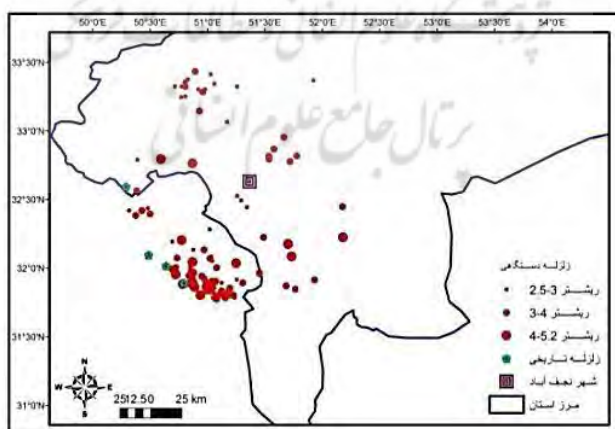


شکل ۵. گسل‌های فعال در شعاع صد کیلومتری شهر اصفهان (تصویر سمت چپ) و گسل‌های فعال موجود در اطراف شهر نجف‌آباد<sup>۱</sup> (تصویر سمت راست)

منبع: صفائی، ۱۳۸۴

### بررسی وضعیت لرزه‌خیزی منطقه

الگوی لرزه‌خیزی منطقه‌ای در برگیرنده اطلاعات همه زلزله‌های تاریخی و دستگاهی در محدوده مورد نظر است. اطلاعات زلزله‌های تاریخی ایران عمدها در دو مرجع زمین‌لرزه‌های تاریخی ایران (آمبرسیز و ملویل، ۱۹۸۲) و کاتالوگ زمین‌لرزه‌های ایران (بربریان، ۱۹۹۴) موجود است. با توجه به این منابع و با استناد به اطلاعات پژوهشگاه زلزله‌شناسی کشور، برخی زلزله‌های تاریخی (بالای ۵ ریشتر) و ۹۵ زلزله دستگاهی بالای ۲/۵ ریشتر در بازه زمانی ۱۹۶۲-۲۰۱۴ در شعاع صد کیلومتری شهر نجف‌آباد به ثبت رسیده که در شکل ۶ قابل مشاهده است. همچنین در بازه زمانی ۲۰۱۰ تا ۲۰۱۰ حدود ۴۰ کم لرزه (زیر سه ریشتر) در شعاع ۱۵ کیلومتری شهر نجف‌آباد ثبت شده است (پایگاه ملی داده‌های علوم زمین، ۱۳۹۳).



شکل ۶. زمین‌لرزه‌های تاریخی و دستگاهی (۱۹۶۲-۲۰۱۴) در شعاع صد کیلومتری شهر نجف‌آباد

منبع: نگارندگان

۱. شایان ذکر است که در تصویر ماهواره‌ای، گسل‌هایی که در محدوده‌های شهری یا پوشش گیاهی پوشیده شده‌اند به صورت خط‌چین ترسیم می‌شوند (گسل پوشیده).

## بررسی اثرات ساختگاه

لرزش زمین و خسارات ناشی از آن بر ساختارها، نه تنها به بزرگی و نوع منبع لرزش بستگی دارد، بلکه از شرایط توپوگرافی و زمین‌شناسی سطحی و زیرسطحی منطقه با عنوان «اثرات ساختگاه»<sup>۱</sup> تأثیر می‌پذیرد. گواه این امر، نتایج زیانباری است که از زلزله‌های رودبار و منجیل (۱۹۹۰) و بم (۲۰۰۳) بدست آمده است (شفیعی و همکاران، ۲۰۱۱: ۴۸۲). عموماً رسوبات نرم بیشتر از سنگ‌های سخت، دامنه ارتعاشات را زیاد می‌کنند. در فاجعه مرگبار ۱۹۸۵ مکزیکوسیتی، با وجود اینکه زلزله در فاصله ۴۰۰ کیلومتری شهر رخ داد، بهدلیل وجود خاک‌های نرم و سست، ساختمان‌هایی با ارتفاع متوسط در این شهر تخریب شدند ( محمودزاده و هاشمی، ۱۳۹۰: ۱۷). همچنین در زلزله بم، وسعت خرابی‌ها علاوه بر ضعف در ساخت‌وسازها، ناشی از تشدید امواج در رسوبات منفصل منطقه بود که شدت امواج را به مرحله تخریب کامل رساند (علوی‌پناه و قربانی، ۱۳۸۶: ۲۲). اهر و هریس (۱۳۹۱) نیز براساس مشاهدها در سازه‌های احداث شده روی آبرفت‌های اشیاع ضخیم نتیجه گرفتند که آسیب به سازه‌های مهندسی‌ساز بیشتر است (زارع و همکاران، ۱۳۹۱: ۱۲۰). با توجه به نقشه زمین‌شناسی منطقه، دشت نجف‌آباد پوشیده از آبرفت است که ضخامت برخی از آن‌ها به ۱۲۰ متر می‌رسد. جنس این آبرفت‌ها بیشتر شنی و شنی-رسی است. باید توجه داشت که این سازنده‌ها در تشدید امواج زلزله احتمالی و خطیرپذیری بالای شهر از این مورد نقش مؤثری دارند.

## تحلیل آسیب‌پذیری شهر با استفاده از مدل ANP

زلزله از بلایابی است که پیامدهای آن تمام جوانب شهر را دربرمی‌گیرد؛ از این‌رو ضروری است برای ارزیابی آسیب‌پذیری ناشی از آن، مجموعه‌ای از عوامل با توجه به اهمیت هریک از آن‌ها مدنظر قرار بگیرند (بمانیان و همکاران، ۱۳۹۱: ۱۰). معمولاً آسیب‌پذیری فضایی یک شهر متأثر از پارامترهای گوناگون، پیچیده و اغلب کیفی است. با توجه به مدل ارائه شده (شکل ۲) و براساس این پژوهش، آسیب‌پذیری ترکیبی از عوامل در معرض خطر (محیطی، کالبدی، اجتماعی و...) و ظرفیت مقابله جامعه (ساختمان‌های امدادی-مدیریتی) با آن خطر است.

با درنظرگرفتن پنج معیار اصلی و هجده زیرمعیار (مطابق شکل ۷) آسیب‌پذیری شهر نجف‌آباد تحلیل و بررسی شد. جهت وزن‌دهی شاخص‌های انتخاب شده از مدل ANP استفاده شد. بدین ترتیب که برای بررسی تعاملات و ارتباطات میان معیارها و زیرمعیارها از نظر میزان اثرگذاری یا اثرپذیری از یکدیگر و انجام مقایسه‌های زوجی میان آن‌ها، پرسشنامه‌های مربوط تهیه و توسط کارشناسان مرتبط با امور شهر و موضوع پژوهش تکمیل شد. معیارها به عنوان خوش‌ها<sup>۲</sup> و زیرمعیارها به عنوان عناصر<sup>۳</sup> تعریف شدند. مدل مفهومی ANP نیز تهیه و در محیط نرمافزار Super Decision اجرا شد. بهدلیل شرح این مدل در بسیاری از پژوهش‌های پیشین، مراحل کار به طور خلاصه ارائه می‌شود. در شکل ۷، طرح کلی مدل، تعاملات و وابستگی‌های درون خوش‌ها<sup>۴</sup> و وابستگی‌های میان آن‌ها<sup>۵</sup> نشان داده شده است.

وزن‌دهی به معیارها و زیرمعیارها براساس طیف وزنی ۱ تا ۹ است که در این پژوهش با به کارگیری فن دلفی و بهره‌گیری از دیدگاه‌های متخصصان مرتبط با موضوع پژوهش صورت گرفت. در تمامی مقایسه‌های زوجی میان خوش‌ها

1. Local Site Effects

2. Cluster

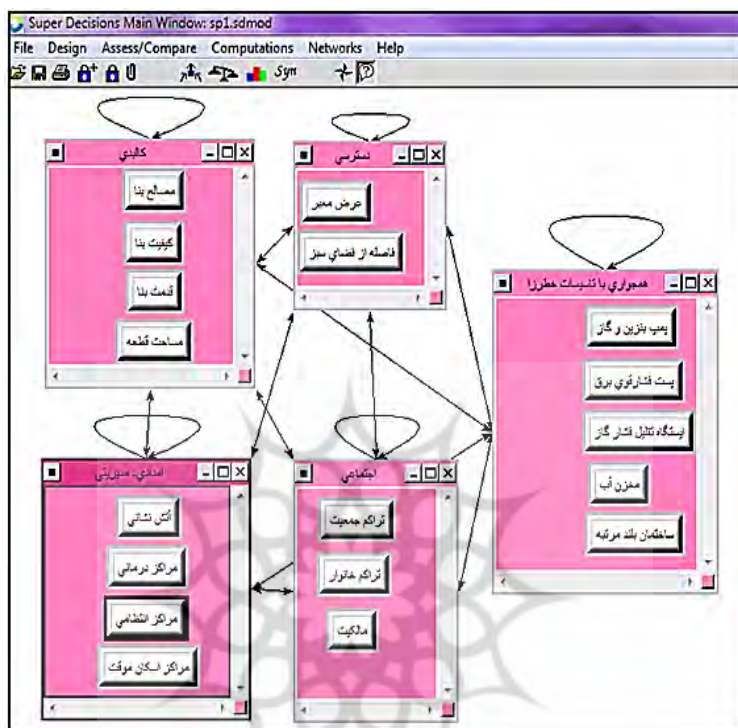
3. Node

3. Inner Dependencies

4. Outer Dependencies

و معیارها به طور جداگانه، نرخ ناسازگاری (CR) کمتر از ۰/۱ بودست آمد که نشان دهنده صحت قضاوت هاست. از تلفیق نتایج هریک از ماتریس‌های مقایسه، ماتریس اولیه‌ای به دست آمد که نرمافزار با نرمال کردن آن، سوپرماتریس موزون را تشکیل داد. سپس مقادیر این سوپرماتریس هم‌گرا شد و سوپرماتریس کراندار (تصویر ۸) شکل گرفت.

نتایج برتری اولویت‌ها در تصویر ۹ قابل مشاهده است. ستون اول وزن نرمال شده هر زیرمعیار در خوشة خودش را نشان می‌دهد و ستون دوم بیانگر وزن نهایی هر زیرمعیار است.



شکل ۷. طرح کلی مدل ANP مبنی بر معیارهای کلی آسیب‌پذیری و زیرمعیارهای مربوط

| Cluster Node Labels | شاخصهای اجتماعی   |              |           |           |                  |               |              | شاخصهای اهدافی- دیربرانی |          |          | شاخصهای خطرناک |
|---------------------|-------------------|--------------|-----------|-----------|------------------|---------------|--------------|--------------------------|----------|----------|----------------|
|                     | بعد خانوار        | مرآ تم جمعیت | هائکت بنا | آتش نشانی | مراکز اسکان هوct | مراکز انتظامی | مراکز درهانی | ایستگاه تقلیل فشارگاز    |          |          |                |
| شاخصهای خطرناک      | ساختمن بلند مرتبه | 0.024878     | 0.024878  | 0.024878  | 0.024878         | 0.024878      | 0.024878     | 0.024878                 | 0.024878 | 0.024878 |                |
|                     | مخزن آب           | 0.001655     | 0.001655  | 0.001655  | 0.001655         | 0.001655      | 0.001655     | 0.001655                 | 0.001655 | 0.001655 |                |
|                     | پست فشار قوی برق  | 0.002505     | 0.002505  | 0.002505  | 0.002505         | 0.002505      | 0.002505     | 0.002505                 | 0.002505 | 0.002505 |                |
|                     | هب بنزین و گاز    | 0.012258     | 0.012258  | 0.012258  | 0.012258         | 0.012258      | 0.012258     | 0.012258                 | 0.012258 | 0.012258 |                |
| شاخصهای دسترسی      | عرض معتبر         | 0.158417     | 0.158417  | 0.158417  | 0.158417         | 0.158417      | 0.158417     | 0.158417                 | 0.158417 | 0.158417 |                |
|                     | فضای باز          | 0.056070     | 0.056070  | 0.056070  | 0.056070         | 0.056070      | 0.056070     | 0.056070                 | 0.056070 | 0.056070 |                |
| شاخصهای کالبدی      | اسکلت بنا         | 0.249276     | 0.249276  | 0.249276  | 0.249276         | 0.249276      | 0.249276     | 0.249276                 | 0.249276 | 0.249276 |                |
|                     | قدرت بنا          | 0.075038     | 0.075038  | 0.075038  | 0.075038         | 0.075038      | 0.075038     | 0.075038                 | 0.075038 | 0.075038 |                |

شکل ۸. سوپرماتریس کراندار

| Here are the priorities. |                        |                       |          |
|--------------------------|------------------------|-----------------------|----------|
| Icon                     | Name                   | Normalized by Cluster | Limiting |
| No Icon                  | بعد خانوار             | 0.29789               | 0.046783 |
| No Icon                  | تراکم جمعیت            | 0.64555               | 0.101383 |
| No Icon                  | مالکیت بنا             | 0.05656               | 0.008883 |
| No Icon                  | آتش نشانی              | 0.46902               | 0.015198 |
| No Icon                  | مراکز اسکان موقت       | 0.09206               | 0.002983 |
| No Icon                  | مراکز انتظامی          | 0.10517               | 0.003408 |
| No Icon                  | مراکز در عالی          | 0.33376               | 0.010815 |
| No Icon                  | ایستگاه تقلیل فشار گاز | 0.11405               | 0.005316 |
| No Icon                  | ساختگان بالد مرتبه     | 0.53373               | 0.024878 |
| No Icon                  | مخزن آب                | 0.03551               | 0.001655 |
| No Icon                  | پست فضار قوی برق       | 0.05374               | 0.002505 |
| No Icon                  | بعض بنزین و گاز        | 0.26298               | 0.012258 |
| No Icon                  | عرض معبر               | 0.73859               | 0.158417 |
| No Icon                  | فضای باز               | 0.26141               | 0.056070 |
| No Icon                  | اسکلت بنا              | 0.45369               | 0.249276 |
| No Icon                  | قدعت بنا               | 0.13657               | 0.075038 |
| No Icon                  | مساحت قطعات            | 0.05755               | 0.031619 |
| No Icon                  | کیفیت بنا              | 0.35220               | 0.193514 |

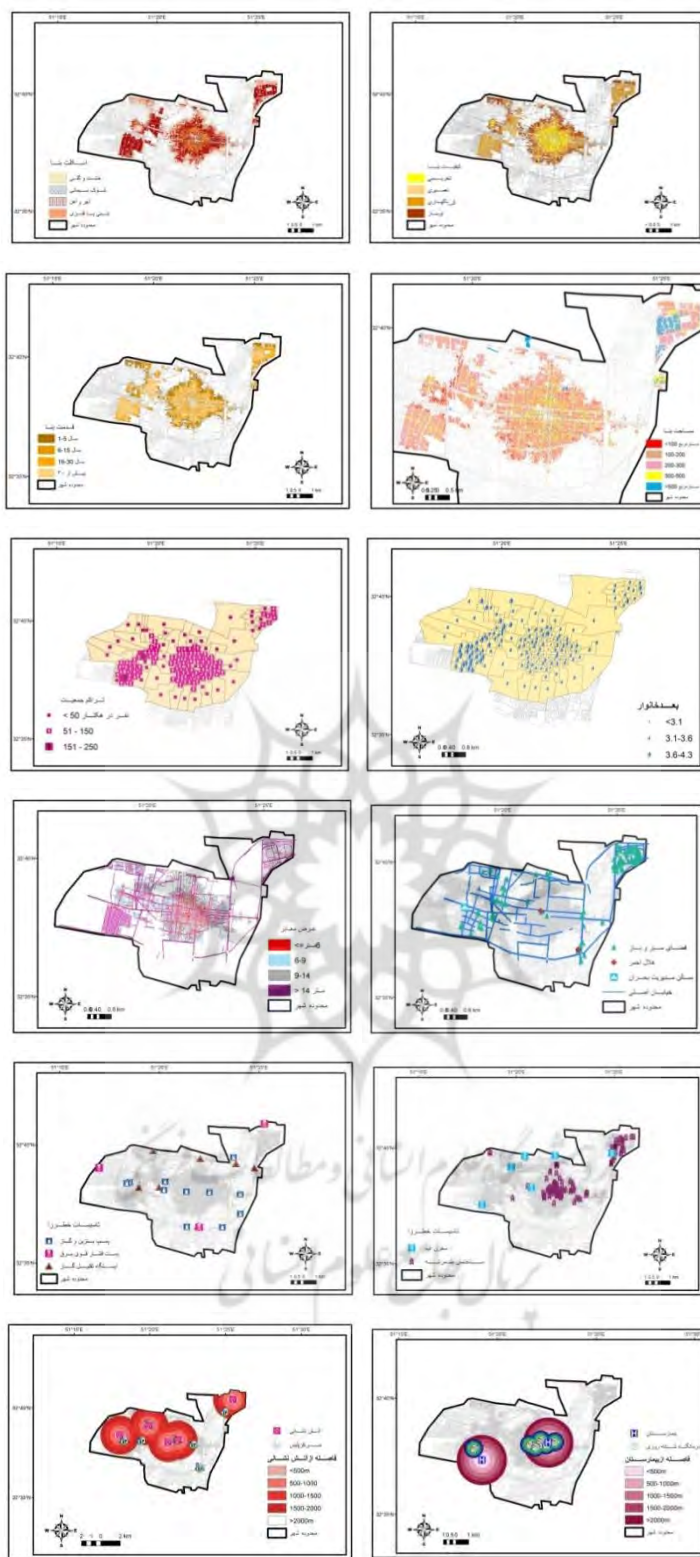
شکل ۹. اوزان به دست آمده برای زیرمعیارها در مدل ANP

همان طور که مشاهده می‌شود، زیرمعیار اسکلت بنا با وزن ۰/۴۹۹ بیشترین اهمیت را دارد؛ زیرا زلزله‌های اخیر نشان داده است که نوع مصالح به کاررفته در ساختمان‌ها مهم‌ترین پارامتر در آسیب‌پذیری لرزه‌ای شهر است. پس از آن زیرمعیارهای کیفیت بنا، عرض معبر و تراکم جمعیت با وزن‌های ۰/۱۹۳، ۰/۱۵۸ و ۰/۱۰۱ بیشترین اهمیت را دارند. در ادامه به منظور تهیه نقشه آسیب‌پذیری کلی شهر از زلزله احتمالی، ابتدا نقشه‌های مربوط به زیرمعیارها در نرم‌افزار ARCGIS10.2 تهیه و به رستر<sup>۱</sup> تبدیل شدن. سپس طبقه‌بندی مجدد آن‌ها با توجه به آسیب‌پذیری صورت گرفت. پس از آن، وزن‌های به دست آمده از مدل ANP به صورت جداگانه در لایه‌های رستری موجود (با اندازه پیکسل ۵ متر) اعمال، و درنهایت همپوشانی<sup>۲</sup> انجام شد. با توجه به شکل ۱۰ برخی نقشه‌ها شامل چند زیرمعیار هستند. به منظور تسهیل در بررسی موضوع، نقشه نهایی پس از طبقه‌بندی مجدد به پنج طبقه آسیب‌پذیری تقسیم شد که این امر به روش Jenks که بر پایه تعیین نقاط شکست طبیعی نمودار فراوانی استوار است، صورت گرفت. شکل ۱۱ توزیع فضایی میزان آسیب‌پذیری کلی شهر از زلزله احتمالی را نشان می‌دهد.

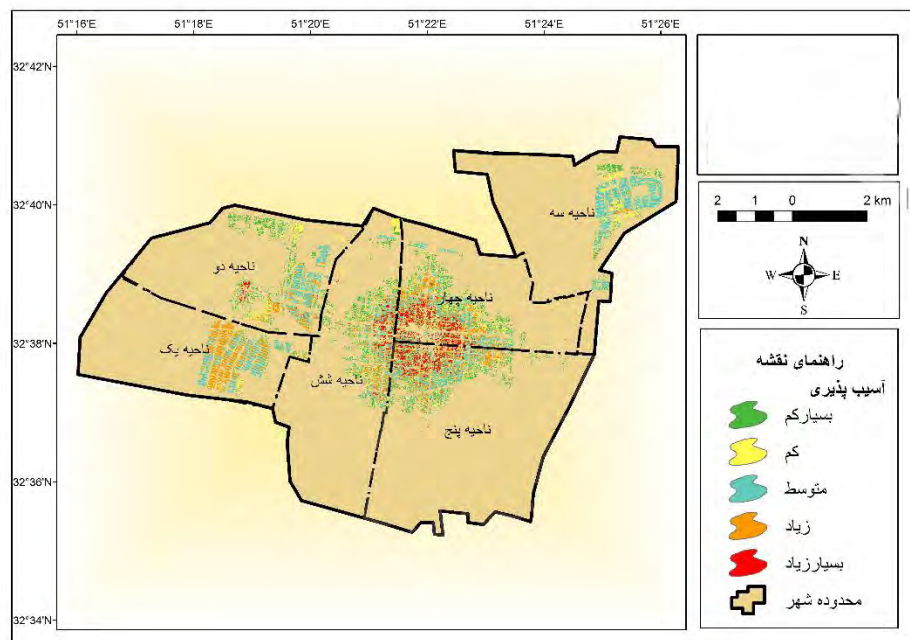
## 1. Raster

### 2. Index Overlay

۳. قسمت عمده اطلاعات مربوط به این لایه‌ها از تجدیدنظر طرح توسعه و عمران شهر نجف‌آباد اقتباس شد. همچنین با توجه به فواصل و طبقه‌بندی‌های استاندارد در زمینه درجات آسیب و استفاده از تحلیل فضایی، نقشه‌ها توسط نگارنده‌گان در محیط ARCGIS تهیه و ترسیم شد که به دلیل محدودیت مقاله از توضیحات بیشتر و آوردن عنوانی به صورت جداگانه صرف‌نظر شد.



شکل ۱۰. مجموعه لایه‌های رستی متاخر با زیرمعیارهای مربوط به آسیب‌پذیری  
منبع: نگارندگان



شكل ۱۱. نقشه توزیع فضایی میزان آسیب‌پذیری لرزه‌ای شهر نجف‌آباد

منبع: نگارندگان

## ارزیابی میزان ریسک پذیری لردهای شهر

میزان ریسک لرزه‌ای با دو روش کمی و کیفی قابل محاسبه است. در کشور ما بهدلیل کمبود یا فقدان داده‌ها و اطلاعات کافی، تاکنون برآورده کمی برای ریسک زلزله انجام نشده است، اما برآورد کیفی قابل انجام است (غفوری آشتیانی، ۱۳۹۲). به دنبال مطالعات مختلف، مدل‌ها و نظریات گوناگونی درباره بررسی ریسک و آسیب‌پذیری ارائه شد که یا به طور جامع تمامی مؤلفه‌های دخیل در ریسک را درنظر نمی‌گیرد یا در مناطقی که با فقدان اطلاعات ضروری روبروست کاربرد خواهد داشت. در پژوهش حاضر، روشی برای برآورد نسبی شاخص ریسک براساس ترکیب مؤلفه‌های خطر زلزله و فاکتور آسیب‌پذیری (تلقیق عوامل در معرض خطر و ظرفیت مقابله با خطر) ارائه شد که در آن، خطرپذیری براساس رابطه خطی میان این عوامل به صورت رابطه ۶ مدنظر قرار گرفت.

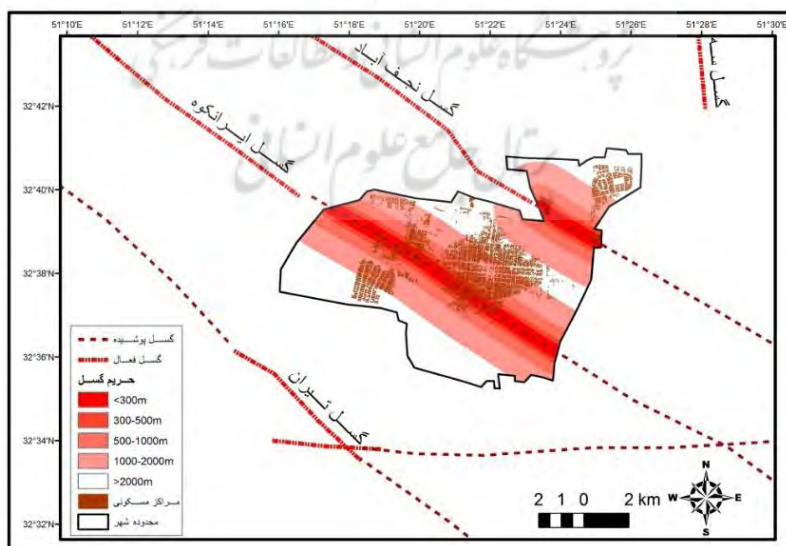
(۶)  $R = H \times (E \times C)$  خطر زلزله در معرض خطر + ظرفیت مقابله با خطر

در این رابطه وزن این عوامل یکی نیست؛ زیرا میزان خطر (مخاطره) و شدت آسیب‌پذیری در بیشتر مناطق یکسان بهشمار نمی‌آید (ممکن است در منطقه‌ای احتمال خطر بالا، ولی آسیب‌پذیری کم باشد و بالعکس)؛ بنابراین می‌توان وزن هریک از این عوامل را از مقایسه تطبیقی وضعیت منطقه مورد مطالعه (از نظر میزان خطر لرزه‌ای و شدت آسیب‌پذیری ناشی از آن) با دیگر نقاط کشور، براساس درصد تأثیر و با توجه به نظر متخصصان موضوع تعیین کرد. در این روش با توجه به نسبی بودن شاخص ریسک می‌توان با وجود داده‌های کمتر یا نبود برخی اطلاعات، ریسک زلزله را در مناطق مختلف شناسایی کرد.

بررسی خطر (مخاطره) زمین لرزه: همان گونه که در قسمت‌های پیشین عنوان شد، برای تحلیل خطر زلزله باید اثرات ساختگاه، کانون‌های زلزله و موقعیت گسل‌های منطقه بررسی شود. با توجه به توضیحات ارائه شده درمورد ساختگاه شهر، رسی‌بودن خاک منطقه گاهی، به ضخامت ۱۲۰ متر مواد رس و خطر پذیری بالای لرزه‌ای آن نشان دهنده شرایط ویژه

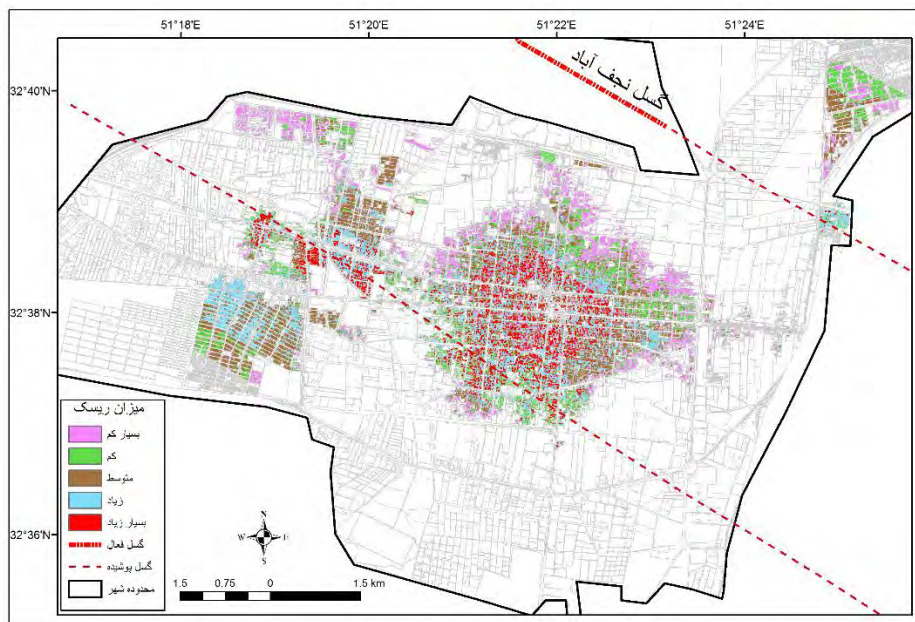
ژئوتکنیکی ساختگاه شهر است. از سوی دیگر، با توجه به قرارگیری شهر نجف‌آباد در محدوده بین دو ابرگسل زاگرس و قم-زفره، شناسایی گسل‌های جدید پنهان زیر این شهر و فعال بودن آن‌ها (با درنظر گرفتن سابقه وقوع زمین‌لرزه‌های بزرگ روی گسل‌های پنهان زیر شهرها در کشور مانند طبس و بم (علوی‌پناه و قربانی، ۱۳۸۶: ۱۶)) و وقوع زمین‌لرزه‌های محسوس (بالای ۴ ریشتر) با عمق کانونی بسیار کم (کمتر از ده کیلومتر) در اطراف این شهر طی چند سال اخیر، احتمال خطر زمین‌لرزه در این منطقه همواره وجود دارد. براساس پژوهش‌های مرتبه با زلزله‌های مختلف از جمله زلزله بم، ساخت‌وسازهای نزدیک گسل به تخریب بیشتری دچار شده‌اند (میرزاوی و همکاران، ۱۳۸۳: ۲۵)، به همین دلیل ضروری است برای هرگونه عملیات ساختمانی در شهرها، حریم خطری برای گسل تعریف کرد؛ از این‌رو کارشناسان زلزله حداقل فاصله از گسل را ۳۰۰ متر درنظر گرفته‌اند تا رفتار سازه‌ها مانند سازه‌های دور از گسل باشد (کامل باسمنج، ۱۳۹۱: ۱۳۳). در شکل ۱۲ میزان خطر مربوط به کانون‌های زمین‌لرزه و اثر ساختگاه آمده است. همچنین حریم خطر گسل‌های پنهان زیر شهر نجف‌آباد با درجه‌بندی خطر از ۳۰۰ متر تا ۲۰۰۰ متر فاصله از گسل و موقعیت مراکز مسکونی به آن قابل مشاهده است.

بررسی آسیب‌پذیری: در بحث آسیب‌پذیری ذکر چند نکته مرتبه با عوامل در معرض خطر و توان مقابله با خطر احتمالی ضروری به نظر می‌رسد. شهر نجف‌آباد حدود ۴۵۰ هکتار بافت فرسوده دارد که دربرگیرنده هسته مرکزی و فعالیت‌های اصلی شهر است. حدود ۶۰ درصد ساختمان‌های شهر نیز از نظر ساختاری، فونداسیون و اسکلت مناسب و مقاومی ندارند و ۴۰ درصد ساختمان‌ها بالای سی سال قدمت دارند. از دیگر فاکتورهای بسیار مؤثر در آسیب‌پذیری این شهر، کمبود فضای باز داخل شهر (به‌ویژه هسته مرکزی شهر) یا نبود این فضا و وجود معابر زیاد با عرض کمتر از ۶ متر در نقاط مختلف است؛ به طوری که این فضاهای در صورت وقوع بحرانی مانند زلزله، آسیب‌پذیری بسیار بالایی دارند و کار امدادرسانی را غیرممکن می‌کنند. در بحث توان مقابله نیز کمبودهایی در بخش‌های درمانی، مراکز اسکان موقت و مسائل مربوط به مدیریت بحران شهر وجود دارد. در بخش قبل، نقشه مربوط به بررسی آسیب‌پذیری لرزه‌ای شهر تهیه شد.



شکل ۱۲. حریم خطر گسل‌های پنهان زیر شهر نجف‌آباد و موقعیت مراکز مسکونی

منبع: نگارندگان با استناد به شکل ۵



شکل ۱۳. توزیع فضایی میزان ریسک پذیری لرزه‌ای شهر نجف‌آباد

منبع: نگارندگان

جدول ۲. پهنه‌بندی میزان ریسک پذیری لرزه‌ای شهر نجف‌آباد

| میزان ریسک پذیری      | مساحت پهنه (هکتار) | درصد ریسک هر پهنه |
|-----------------------|--------------------|-------------------|
| ریسک پذیری بسیار کم   | ۲۴۷/۶۸             | ۲۱                |
| ریسک پذیری کم         | ۲۲۴/۰۹             | ۱۹                |
| ریسک پذیری متوسط      | ۳۱۸/۴۴             | ۲۷                |
| ریسک پذیری زیاد       | ۲۳۵/۸۸             | ۲۰                |
| ریسک پذیری بسیار زیاد | ۱۵۳/۳۲             | ۱۳                |

منبع: نگارندگان، ۱۳۹۳

در نهایت با توجه به نظر متخصصان مربوط و استناد به مطالعات پیشین درباره ارزیابی ریسک و آسیب‌پذیری لرزه‌ای مناطق مختلف، نقشه مرتبط با عامل مخاطره (شکل ۱۱) و نقشه مربوط به شاخص آسیب‌پذیری (شکل ۱۲) با نسبت‌های وزنی ۰/۳۵ و ۰/۶۵ همپوشانی و میزان ریسک‌پذیری لرزه‌ای این شهر مشخص شد.

براساس نتایج، حدود ۳۳ درصد مساحت توسعه‌یافته شهر ریسک‌پذیری بالایی در برابر زلزله دارد که محدوده مرکزی هسته اولیه شهر و بخشی از شهرک صالح‌آباد را دربرگرفته است و ساختمان‌های خشت و گلی و گاهی بلوک سیمانی با قدمت بالای پنجاه سال را شامل می‌شود. همچنین ۲۷ درصد این مساحت ریسک‌پذیری متوسطی دارد که شامل ساختمان‌هایی با مصالح بنایی (آجر و آهن) بدون فونداسیون مناسب و اغلب با قدمت بالای سی سال است. با تطبیق نقشه پراکنش جمعیت شهر (براساس حوزه‌های آماری سرشماری جمعیت سال ۱۳۹۰) بر پهنه‌بندی فوق مشخص شد جمعیتی بالغ بر ۲۸.۳۰۰ نفر در پهنه ریسک‌پذیری بسیار بالا و حدود ۲۲.۸۰۰ نفر در پهنه ریسک‌پذیری بالا قرار دارند. در حال حاضر شهر نجف‌آباد از نظر تقسیمات شهرداری به سه منطقه و شش ناحیه شهری تقسیم شده که پس از بررسی ریسک لرزه‌ای کل شهر، ارزیابی این موضوع به تفکیک در نواحی شش گانه شهر صورت گرفته است.

## نتیجه‌گیری

از اهداف پژوهش حاضر شناخت و ارزیابی میزان ریسک لرزه‌ای شهر نجف‌آباد به کمک مدل‌سازی مکانی‌فضایی مؤلفه‌های مختلف محیطی، کالبدی، اجتماعی و مدیریتی با رویکرد کاهش ریسک بوده است. از آنجا که بررسی همه‌جانبه و یکباره تمامی عوامل مؤثر بر ریسک‌پذیری شهری امکان‌پذیر نیست، در این پژوهش با درنظرگرفتن بیشترین تعداد شاخص‌های مؤثر بر موضوع مورد نظر و ارائه مدل محلی، ریسک‌پذیری لرزه‌ای شهر نجف‌آباد از زمین‌لرزه احتمالی بررسی و تحلیل پرداخته شد. در این مدل به منظور برآورد نسبی شاخص ریسک «مؤلفه‌های خطر زلزله و فاکتور آسیب‌پذیری» مطابق نظر متخصصان موضوع، و توجه به شرایط منطقه با نسبت‌های وزنی  $0.35/0.65$  ترکیب شدند که برای این منظور ابتدا وضعیت موجود منطقه در ارتباط با خطر احتمالی بررسی شد. شهر نجف‌آباد با قدمتی چهارصدساله، قدیمی‌ترین شهر جدید ایران و دومین شهر مهم مجموعه شهری اصفهان محسوب می‌شود که طی شصت سال اخیر جمعیت آن هفت برابر شده است. این شهر از نظر زمین‌ساختی در زون سنندج-سیرجان قرار دارد که ناآرام‌ترین زون ساختمانی ایران به‌شمار می‌آید و براساس مطالعات، احتمال وقوع زلزله در این حصه همواره وجود دارد. ساختارهای مهم جنبه، شناسایی گسل‌های فعال برای نخستین بار و ثبت بیش از صدها لرزه در دهه‌های اخیر پیرامون این حوزه و شرایط ویژه ژئوتکتونیکی ساختگاه شهر، نمایانگر خطرپذیربودن آن است.

در مدل ارائه‌شده، ترکیب تمام «پارامترهای در معرض آسیب‌پذیری لرزه‌ای و ظرفیت مقابله با خطر احتمالی» با عنوان شاخص آسیب‌پذیری مطرح شده است. به منظور وزن دهنی این پارامترها که ساختاری شبکه‌ای دارند، از مدل ANP استفاده شد که براساس آن، زیرمعیار اسکلت بنا با وزن  $0.249/0.249$  بالاترین وزن را به خود اختصاص داد. تمام نقشه‌ها در محیط ARCGIS و گاهی با تحلیل فضایی تهیه شدند. سپس با اعمال وزن‌های مربوط به نقشه‌ها و تلفیق آن‌ها، نقشه توزیع فضایی آسیب‌پذیری شهر تهیه شد. درنهایت براساس مدل تعریف‌شده پژوهش، با همپوشانی وزنی دو نقشه خطر منطقه و آسیب‌پذیری شهر (با نسبت‌های وزنی ذکر شده در قبل)، ریسک نسبی منطقه مورد نظر برآورد شد. نتایج نشان می‌دهد حدود ۳۳ درصد مساحت توسعه‌یافته شهر یعنی محدوده مرکزی و بخشی از شهرک صالح‌آباد، ریسک‌پذیری بالایی در برابر زلزله دارد. حدود ۲۷ درصد این مساحت نیز ریسک‌پذیری متوسطی دارد. با توجه به نقشه پراکنش جمعیت شهر (براساس حوزه‌های آماری سرشماری جمعیت سال ۱۳۹۰) و تطبیق آن با نتایج مشخص می‌شود جمعیتی بالغ بر ۵۱۰۰۰ نفر (با تراکمی در حدود ۷۰ تا ۱۰۰ نفر در هکتار) در پهنه ریسک‌پذیری بالا قرار دارند. در بررسی ریسک لرزه‌ای نواحی شهر نیز مشخص شد ناحیه ۵ با جمعیتی حدود چهل هزار نفر، بالاترین ریسک‌پذیری را در میان نواحی شش‌گانه شهر دارد. همچنین محدوده یزدانشهر (ناحیه ۱) در جنوب غربی شهر که بالاترین تراکم جمعیت را در سطح شهر دارد، در پهنه ریسک‌پذیری متوسط رو به‌بالاست.

با استناد به رویکردهای نوین مدیریت بحران در سطح جهانی - که بر کاهش ریسک بلایا از طریق کاهش آسیب‌پذیری‌ها و کاهش مخاطرات طبیعی و مواجهه با آن‌ها تا حد امکان تأکید می‌کنند - تقلیل آسیب‌پذیری شهر وندان در معرض خطر ایجاب می‌کند تا سیستم جامعی برای مقابله با بحران‌ها اعمال شود. به منظور کاهش خطرپذیری‌ها و بهبود محیط، راهبردهای بسیاری وجود دارد که برخی از آن‌ها اهمیت بیشتری دارند؛ از جمله بهره‌گیری از فناوری‌های جدید مقاوم‌سازی، نظارت و کنترل دقیق عملیات اجرایی ساختمان‌ها، بهسازی و نوسازی بافت فرسوده، توجه ویژه به نقش فضاهای باز و دسترسی‌ها، ایجاد تعادل در تخصیص کاربری‌ها و برقراری نظم میان توده و فضاء، افزایش قابلیت نفوذپذیری در بافت‌های فرسوده، ایجاد فضای باز و سبز در بافت‌های فشرده شهر، تعریض معابر دارای مشکلات حاد تردد، حفظ و ارتقای هویت اجتماعی شهر، توانمندسازی ساکنان بافت‌های فرسوده با ارائه تسهیلات شهرداری، مکان‌یابی

صحیح مراکز درمانی و امداد و نجات و تشویق بخش خصوصی (از طریق ارائه تسهیلات) به ساخت این مراکز در نقاطی که این مراکز را ندارند، هماهنگی دستگاه‌های مدیریتی و امدادی به منظور کاهش تلفات انسانی پس از وقوع زلزله، تعیین حریم نواحی پرخطر، ایجاد مرکز دفاع غیرنظامی و مدیریت بحران در شهرها با قابلیت مدیریت یکپارچه بحران‌های طبیعی و غیرطبیعی و استفاده از تجربیات سایر کشورها در زمینه مدیریت بحران.

امید است با توجه به وضعیت خاص ایران در تکتونیک جهانی و با توجه به طرح‌های اقتصادی، عمرانی و صنعتی مختلفی که در حال اجرا هستند یا در آینده اجرا خواهند شد، سازمان‌های ذی‌ربط با همکاری یکدیگر به اقدامات لازم برای کاهش آسیب‌پذیری‌های ناشی از زلزله بپردازند.

## منابع

۱. آمبرسن، نیکلاس و چارلز ملویل، ۱۳۷۰، **زلزله‌های تاریخی ایران**، ترجمه ابوالحسن رده، انتشارات دانشگاه تهران، تهران.
۲. بمانیان، محمدرضا و همکاران، ۱۳۹۱، کاهش خطرپذیری شهر از بلایای طبیعی (زلزله) از طریق برنامه‌ریزی کاربری زمین، مطالعه موردی: ناحیه ۵ از منطقه ۳ تهران، دوفصلنامه مدیریت بحران، دوره یک، شماره ۲، صص ۱۵-۵.
۳. تقی، محمدجواد، ۱۳۸۳، **آسیب‌شناسی ساختمان (ساختمان‌های آسیب‌دیده از زلزله بهم)**، نشریه هنرهای زیبا، دوره ۱۷، شماره ۱۷، صص ۴۲-۵۳.
۴. جمی، نسرین، ۱۳۸۵، **بررسی خصوصیات زمین‌شناسی و مهندسی نهشته‌های کواترنری در شهر اصفهان**، پایان‌نامه کارشناسی ارشد دانشکده علوم دانشگاه اصفهان.
۵. درویش‌زاده، علی، ۱۳۹۲، **زمین‌شناسی ایران**، چاپ پنجم، انتشارات امیرکبیر، تهران.
۶. زارع، مهدی و همکاران، ۱۳۹۱، **گزارش شناسایی مقدماتی زمین‌لرزه‌های دوگانه اهر و ورزقان (استان آذربایجان شرقی)**، پژوهشگاه بین‌المللی زلزله‌شناسی و مهندسی زلزله، تهران.
۷. شاهپسندزاده، مجید و مهدی حیدری، ۱۳۸۲، **بررسی مقدماتی لرزه‌خیزی، لرزه زمین‌ساخت و خطر زمین‌لرزه در پهنه استان اصفهان**، ماهنامه فنی-تخصصی دانش نما، سال دوازدهم، شماره ۱۰۷-۱۰۹، انتشارات سازمان نظام‌مهندسي اصفهان، صص ۶۲-۶۷.
۸. صفایی، همایون، ۱۳۸۴، **طرح پژوهشی شناسایی و بررسی توان لرزه‌ای گسل‌های اطراف اصفهان**، معاونت شهرسازی و عمارت شهرداری اصفهان، اصفهان.
۹. علوی‌پناه، کاظم و محمدصادیق قربانی، ۱۳۸۶، **نقش سنجش‌از دور و بررسی‌های میدانی در تجزیه و تحلیل‌های مورفو-تکتونیکی**، مطالعه موردی: بهم، فصلنامه پژوهش‌های جغرافیایی، سال ۳۹، شماره ۶۰، صص ۱۵-۲۹.
۱۰. غفوری آشتیانی، محسن، ۱۳۹۲، **راهنمای کاربردی انجام تحلیل خطر زلزله**، دفتر امور فنی، تدوین معیارها و کاهش خطرپذیری ناشی از زلزله، معاونت برنامه‌ریزی و نظارت راهبردی رئیس‌جمهور.
۱۱. فاضل‌نیا، غریب، حکیم‌دست، یاسر و یدالله بلياني، ۱۳۹۳، **راهنمای جامع مدل‌های کاربردی GIS**، ج اول، چاپ سوم، انتشارات آزادپیما، تهران.
۱۲. کامل باسمنج، بتول، میرجعفری، بابک و سید علی علوی، ۱۳۹۱، **ارزیابی آسیب‌پذیری لرزه‌ای در منطقه یک شهر تبریز با استفاده از مدل تحلیل چندمعیاره‌فاضایی**، فصلنامه مدرس (برنامه‌ریزی و آمایش فضا)، سال شانزدهم، شماره ۲، صص ۱۲۱-۱۴۰.

۱۳. محمدی، مصطفی، ۱۳۹۰، **مدل‌سازی مؤلفه‌های ریسک‌پذیر مؤثر در ایمن‌سازی شهر کرج**، رساله دکتری، گروه جغرافیا و برنامه‌ریزی شهری، دانشگاه تهران، تهران.
۱۴. محمودزاده، امیر و سید مهدی هاشمی، ۱۳۹۰، **دستورالعمل ارزیابی لرزه‌ای ساختمان‌ها براساس آیین نامه کانادا**، انتشارات علم‌آفرین، اصفهان.
۱۵. مهندسان مشاور نقش جهان پارس، ۱۳۹۰، تجدیدنظر طرح توسعه و عمران شهر نجف‌آباد.
۱۶. میرزایی، حسین و اسماعیل فرزانگان، ۱۳۸۳، **بم و زمین لرزه‌اش می‌آموزد**(آشنایی با مهندسی زلزله و عملکرد لرزه ای ساختمانها)، انتشارات مرکز تحقیقات ساختمان و مسکن، چاپ اول، تهران.
۱۷. نبوی، محمدحسن، ۱۳۵۵، **دیباچه‌ای بر زمین‌شناسی ایران**، سازمان زمین‌شناسی کشور، تهران.
۱۸. ویسه، یدالله، ۱۳۷۸، **نگرشی بر مطالعات شهرسازی و برنامه‌ریزی شهری در مناطق زلزله‌خیز**، چاپ اول، پژوهشگاه بین‌المللی زلزله‌شناسی و مهندسی زلزله، تهران.
19. Ambersleys, N. N and Melville, C. P., 1982, **A History of Persian Earthquake**, Cambridge Earth Science Series. (*In Persian*)
20. Bemanian, M. R. et al., 2013, Reducing the Risk of Natural Disasters (Earthquake) Through Land Use Planning, Case Study: Region 5 of Tehran Municipality, Journal Crisis Management, Vol.1 , No. 2, PP. 5-15. (*In Persian*)
21. Saghafi, M., 2005, **Assessment of Buildings Vulnerability in Bam Earthquake**, Journal Honarhaye Ziba , Vol.17 , No. 17, PP. 42-53. (*In Persian*)
22. Jami, N., 2006, Surveying of Quaternary Deposits Geological and Engineering Characteristics in Isfahan, M.A Thesis in Science Faculty, Isfahan University. (*In Persian*)
23. Darvishzadeh, A., 2013, **Iran Geology**, 5<sup>th</sup> Ed, Publication of Amirkabir, Tehran. (*In Persian*)
24. Zare, M. et al., 2012, **Reporting of Preliminary Identification Dual Earthquakes in Ahar and Varzaghan**, International Institute of Earthquake Engineering Seismology, Tehran. (*In Persian*)
25. Shahpasandzadeh, M., and Heidari, M., 2003, **A Preliminary Study on Seismic, Seismic Tectonics and the Risk of Earthquakes in the Area in Isfahan**, Journal of Daneshnama Vol. 12 , No. 107-109, Publication of Isfahan Engineering Organization. (*In Persian*)
26. Safaii, H., 2006, **Research Project for Identification and Evaluation of the Seismic Faults Around the Isfahan**, Deputy Mayor of Urban Planning and Architecture of Isfahan, Isfahan. (*In Persian*)
27. Alavipanah, K., and Ghorbani, M., 2007, **The Role of Remote Sensing and Field Studies in the Analysis Morphotectonic**, J Gheoghraphic Researches, Vol. 39 , No. 60, PP. 15-29. (*In Persian*)
28. Ghafoory Ashtiani, M., 2013, **Practical Guide Earthquake Risk Analysis**, Deputy of President in Strategic Planning and Monitoring. (*In Persian*)
29. Fazelnia, GH., Hakimdoost, Y., and Beliani, Y., 2014, **The Comprehensive Guide for GIS Functional Models**, Third Edition, Azadpeyma Publication, Tehran. (*In Persian*)
30. Kamel Basmenj, B., Mirgafari, B., and Alavi, A., 2012, **Evaluation of Seismic Vulnerability of Region1 of the City of Tabriz Using Spatial Multi-Criteria Analysis**, Journal Modares, Vol.16, No. 2, PP. 121-140. (*In Persian*)
31. Mohamadi, M., 2011, **Modelling for Risk Parameter Affected on Karaj City Safety**, Phd Thesis, Geographic and Urban Planning Branch, Tehran University, Tehran. (*In Persian*)
32. Mahmoodzadeh, M., and Hashemi, M., 2011, **Seismic Evaluation of Buildings Based on**

- Regulations of Canada**, Elmafarin Publication, Isfahan. (*In Persian*)
33. Jahan Pars Consulting Engineers, 2012, **Master Plan of Najafabad City**. (*In Persian*)
34. Mirzaii, H., and Farzanegan, E., 2004, **Bam's Earthquake and Teaches**, Building and Housing Research Center. (*In Persian*)
35. Nabavi, M., 1977, **The Geological History of Iran**, Geological Organization of IRAN. (*In Persian*)
36. Viseh, Y., 2000, **Review of Urban Studies and Planning in Earthquake-Prone Areas**, International Institute of Earthquake Engineering Seismology, Tehran. (*In Persian*)
37. Baban, S. M., 2014, **Enduring Geohazards in the Caribbean: Moving from the Reactive to the Proactive**, Chapter 2, University of West Indies Press, Jamaica, 256 p, ISBN: 978-976-640-204-4.
38. Chen, C. W. et al., 2012, A Novel Strategy to Determine the Insurance and Risk Control Plan for Natural Disaster Risk Management, *Natural Hazards*, Vol. 64, No. 2, PP. 1391-1403.
39. Crichton, D., 1999, **The Risk Triangle**, *Natural Disaster Management*, PP.102-103.
40. Dewan, A. M., 2013, **Vulnerability and Risk Assessment**, In *Floods in a Megacity* (PP. 139-177). Springer Netherlands.
41. EmDat, C.R.E.D., 2013, **The OFDA/CRED International Disaster Database**, Belgium, Université Catholique De Louvain.
42. Fathizahraei, M. et al., 2015, **Reducing Risks in Crisis Management bBy GIS Adoption**, *Natural Hazards*, Vol. 76, No. 1, PP. 83-98.
43. Fedeski, M., and Gwilliam, J., 2007, Urban Sustainability in the Presence of Flood and Geological Hazards: The Development of a GIS-Based Vulnerability and Risk Assessment Methodology, *Landscape and Urban Planning*, Vol. 83, No. 1. PP. 50-61.
44. Garcia, C. et al., 2014, **The Relevance of Early-Warning Systems and Evacuations Plans for Risk Management**, In *Mountain Risks: From Prediction to Management and Governance* (PP. 341-364). Springer Netherlands.
45. Hoseini, M., and Niazi, L., 2003, **The Role of Urban Planning and Design in Lifeline- Related Seismic Risk Mitigation**, Proceeding of the 6th Conference on Lifeline Earthquake Engineering, Longbeach, Canadian.
46. Islam, M. N., Malak, M. A., 2013, Community-Based Disaster Risk and Vulnerability Models of a Coastal Municipality in Bangladesh, *Natural Hazards*, Vol. 69, No. 3, PP. 2083-2103.
47. Keller, E. A, and Pinter, N., 2002, **Active Tectonic: Earthquake Uplift and Landscape**, Newjersy, Prentic Hall.
48. Lankao, P. R., and Qin, H., 2011, **Conceptualizing Urban Vulnerability to Global Climate and Environmental Change**, *Current Opinion in Environmental Sustainability*, Vol. 3, No. 3, PP. 142-149.
49. Masuya, A., 2014, Flood Vulnerability and Risk Assessment with Spatial Multi-Criteria Evaluation, In *Dhaka Megacity* (PP. 177-202), Springer Netherlands.
50. Mcclure, J. et al., 2015, When a Hazard Occurs Where It Is Not Expected: Risk Judgments About Different Regions After the Christchurch Earthquakes, *Natural Hazards*, Vol. 75, No. 1, PP. 635-652.
51. Menoni, S., 2006, Introducing a Transdisciplinary Approach in Studies Regarding Risk Assessment and Management in Educational Programs for Environmental Engineers and Planners, *International Journal of Sustainability in Higher Education*, Vol. 7, No. 3, PP. 309-321.
52. Raftery, J., 2003, *Risk Analysis in Project Management*, Routledge.

53. Rodríguez, J. T., Vitoriano, B., and Montero, J., 2012, **A General Methodology for Data-Based Rule Building and Its Application to Natural Disaster Management**, Computers and Operations Research, Vol. 39, No. 4, PP. 863-873.
54. Sarris, A. et al., 2010, Earthquake Vulnerability and Seismic Risk Assessment of Urban Areas in High Seismic Regions: Application to Chania City, Crete Island, Greece, Natural Hazards, Vol. 54, No. 2, PP. 395-412.
55. Shafiee, A. et al., 2011, **Ground Motion Studies for Microzonation in Iran**, Natural Hazards, Vol. 59, No. 1, PP. 481-505.
56. Shi, W., and Zeng, W., 2012, Analysis and Design on Environmental Risk Zoning Decision Support System Based on UML, Springer° Verlag Berlin Heidelberg, PP. 799-804.
57. Tsai, C. H., and Chen, C. W., 2010, An Earthquake Disaster Management Mechanism Based on Risk Assessment Information for the Tourism Industry-A Case Study from the Island of Taiwan, Tourism Management, Vol. 31, No. 4, PP. 470-481.
58. Wang, Y. et al., 2011, A GIS-Based Spatial Multi-Criteria Approach for Flood Risk Assessment in the Dongting Lake Region, Hunan, Central China, Water Resources Management, Vol. 25, No. 13, PP. 3465-3484.
59. Willis, I. et al., 2014, Applying Neighbourhood Classification Systems to Natural Hazards: A Case Study of Mt Vesuvius, Natural Hazards, Vol. 70, No. 1, PP. 1-22.
60. Zebardast, E., 2013, Constructing a Social Vulnerability Index to Earthquake Hazards Using a Hybrid Factor Analysis and Analytic Network Process (F ANP) Model, Natural Hazards, Vol. 65, No. 3, PP. 1331-1359.
61. [www.liees.Ac.Ir](http://www.liees.Ac.Ir)
62. [www.Gsi.Ir](http://www.Gsi.Ir)
63. [www.Ngdir.Ir](http://www.Ngdir.Ir)

